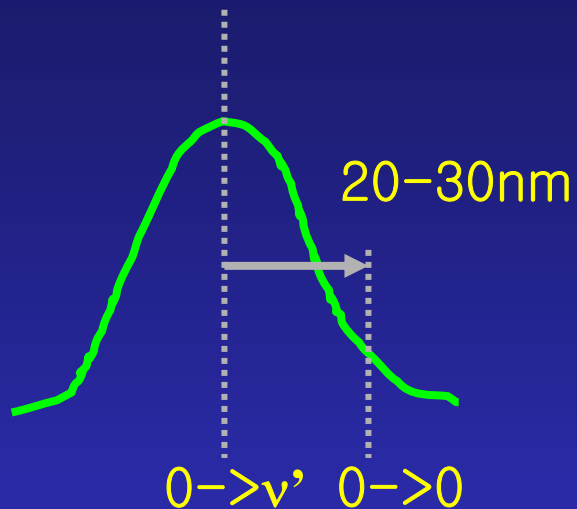


# Decay from the Excited State

홍익대학교

신동명

- Vibrational relaxation  $\sim$  Internal conversion



IR 영역이 된다.  $\rightarrow$  thermal relaxation이 되면서 electromagnetic radiation으로 나올 수 있다.  
그러나: 실제로는 나오지 않는다.

Radiation probability  $B_{ul} \propto \nu^3$



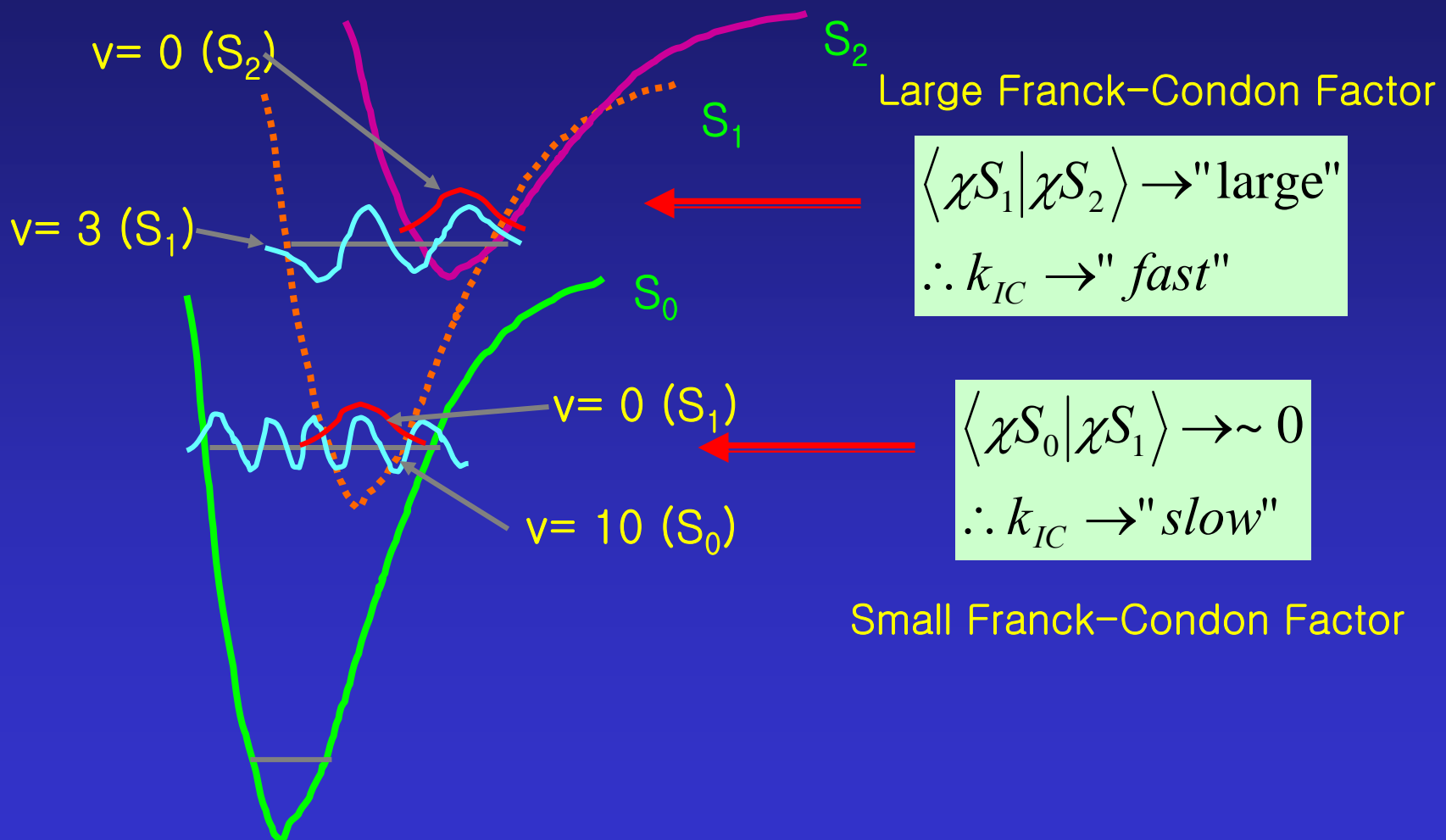
E 간격이 작아서  $\nu^3$ 의 값이 너무 작다.  
따라서 excited 된 후 radiationless decay가 가장 빨리 일어난다.

- What Could affect IC?
  1. Franck–Condon Factor ( $F$ )
  2. Vibronic coupling (Electronic Matrix Element) ( $\beta_{el}$ )
  3. Density of states ( $\rho$ )  
: overlap of many density of state increases  $F$

Fermi's Golden Rule (for radiationless transition)

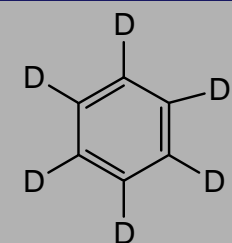
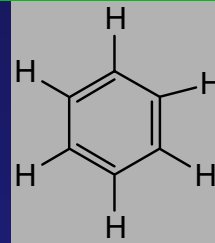
$$k_{RLT} = \frac{4\pi^2}{n} F \beta_{el} \rho$$

- Franck–Condon Factor ( $F$ )
- Radiationless transitions b/w “Matching” Surface



- Franck-Condon Factor ( $F$ )

- Benzene and benzene-d<sub>6</sub>



- Fluorescence quantum yield of benzene-d<sub>6</sub> is higher.
- Benzene decays faster.
- Why?

$$\Phi_F(H_6) < \Phi_F(D_6)$$

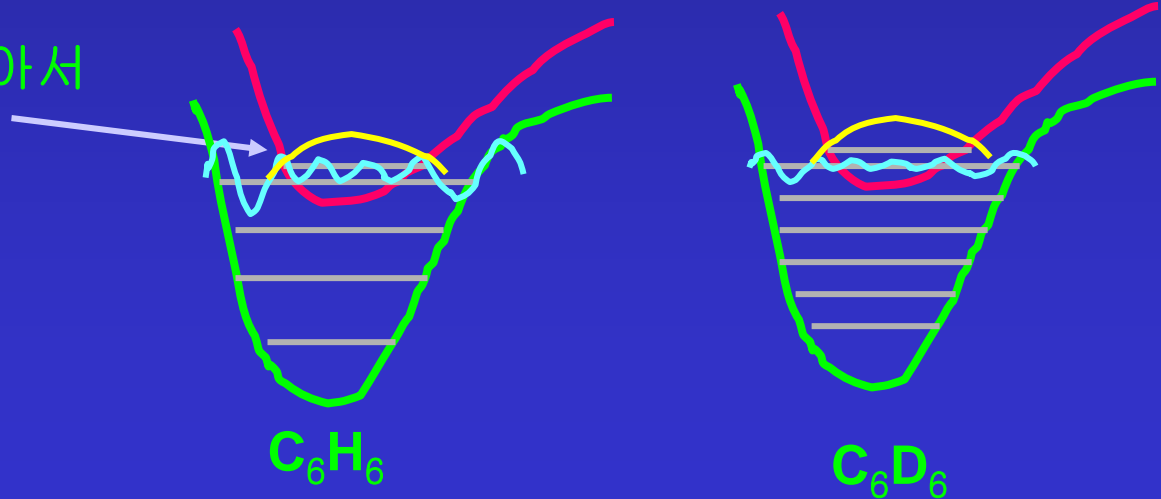
$$\tau_P(H_6) = 6 \text{ sec}, \tau_P(d_6) = 12 \text{ sec}$$

C-H vibration frequency : 3000cm<sup>-1</sup>

C-D vibration frequency : 2200cm<sup>-1</sup>

Wave ftn overlap이 많아서

$F$  값이 크고,  
 $k_{RLT}$ 가 큼  
 $\Phi_F$ 가 작다.

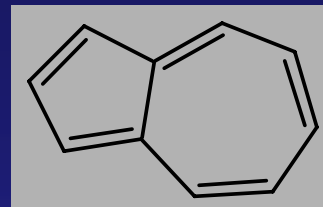


- Azulene

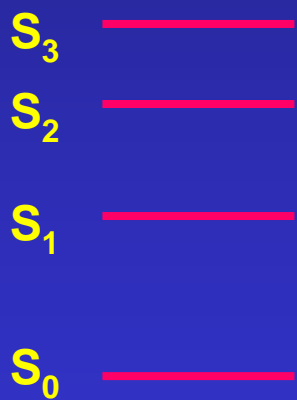
$$\Phi_F(S_2 \rightarrow S_0) \approx 0.03$$

$$k_{ic}(S_2 \rightarrow S_1) \approx 7 \times 10^8 \text{ sec}^{-1}$$

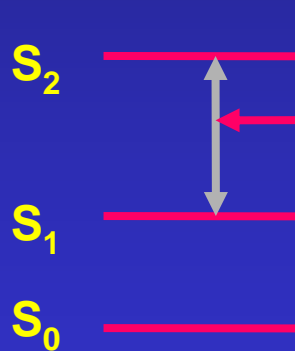
$$k_{ic}(S_1 \rightarrow S_0) \approx 10^{12} \text{ sec}^{-1}$$



Exceptionally fast: Why?



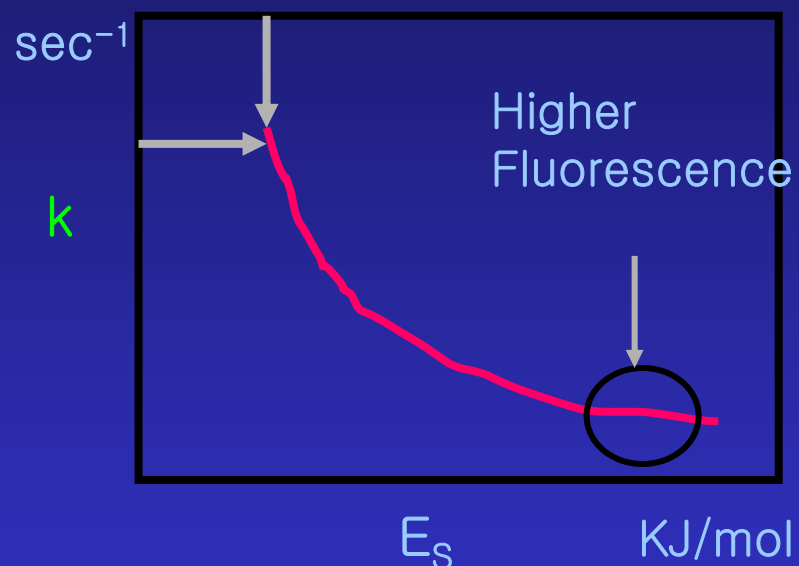
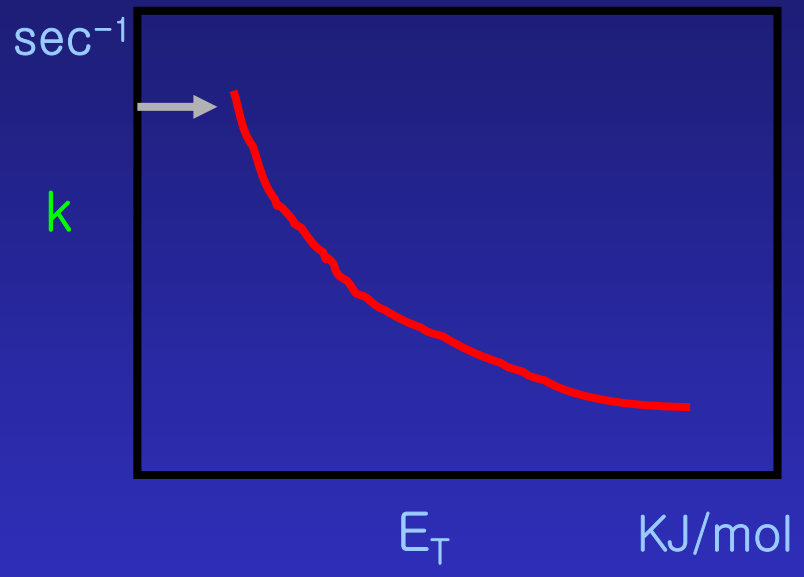
일반적인 energy  
간격



Azulene의 경우

energy 간격 = 40 kcal  
/mole로 유난히 크다.  
=> F가 작고  
=> k<sub>ic</sub> 가 작게 된다.

- Energy Gap and rate of RLT
- Aromatic hydrocarbon의 경우



- 두 state 사이의 orbital overlap이 클수록 F 가 크다. 에너지 gap이 작을수록 overlap이 크다.

- **SO coupling ; Vibronic coupling ( $\beta_{el}$ )**

$$\beta_{elec}^{SO} = \langle \psi | H_{SO} | \psi \rangle$$

$H_{SO}$  has three components  $R_x, R_y, R_z$ .

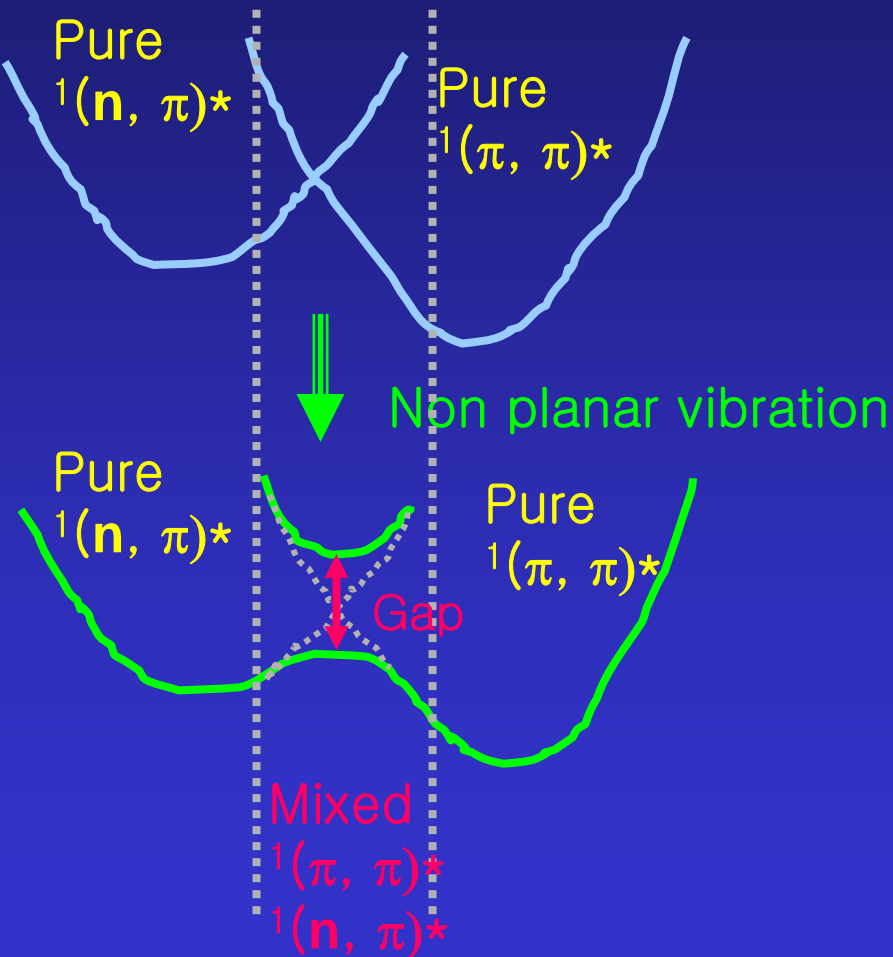
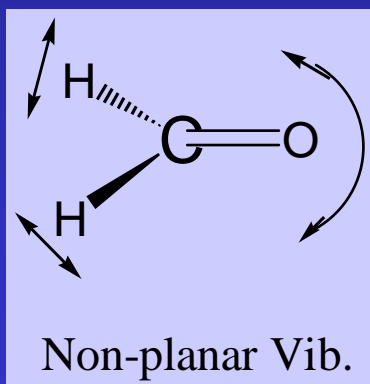
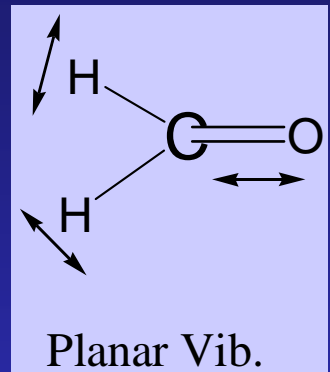
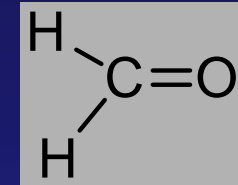
- When  $\psi$  is  $p_x$ ,  $p_x \times p_x$  = symmetric.
- $p_x H_{SO} p_x$  = antisymmetric  $\Rightarrow \beta_e = 0$ . Transition is forbidden.
- El Sayed's Rule

allowed	${}^1(n,\pi^*) \longleftrightarrow {}^3(\pi,\pi^*)$	${}^3(n,\pi^*) \longleftrightarrow {}^1(\pi,\pi^*)$
forbidden	${}^1(n,\pi^*) \longleftrightarrow {}^3(n,\pi^*)$	${}^3(\pi,\pi^*) \longleftrightarrow {}^1(\pi,\pi^*)$

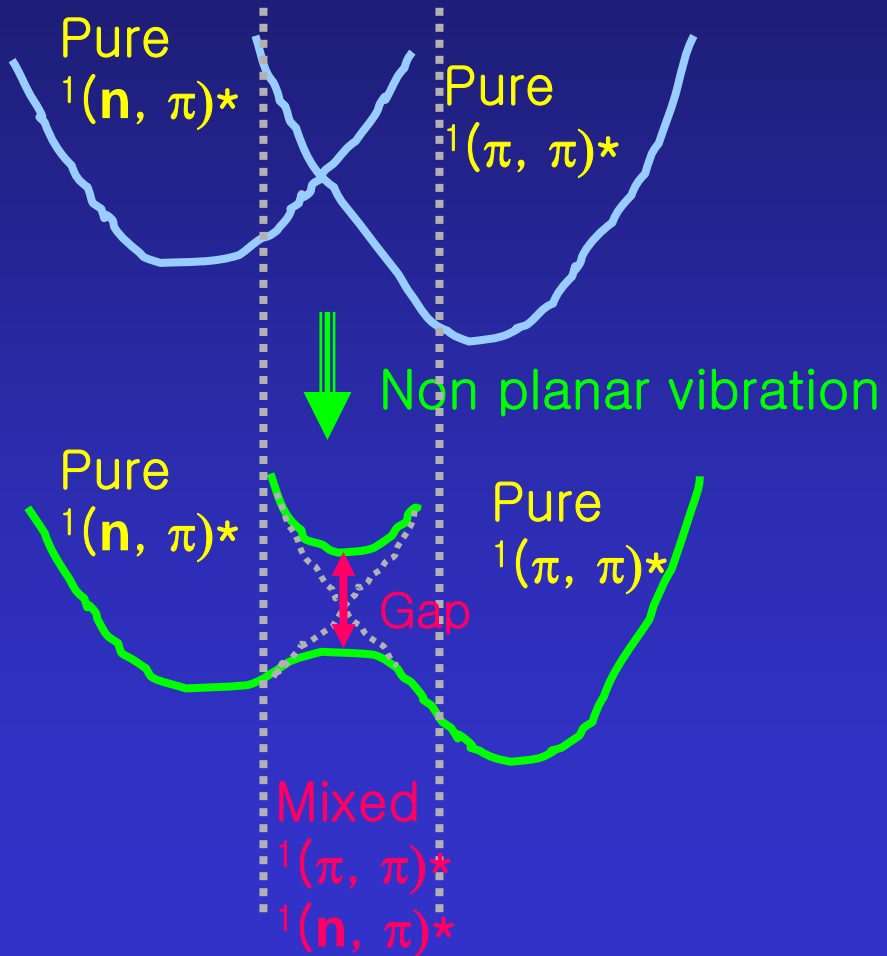
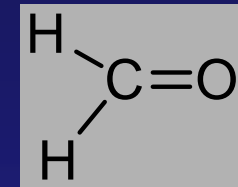
Forbidden에 해당되는 것은 같은 두개의 ft.  
따라서 두개 곱하면 symmetric,  
여기에서  $H_{SO}$  곱하면 antisym. 이므로 forbidden

$\Phi \sim 10^{-2} \sim 10^{-3}$

- SO coupling ; Vibronic coupling ( $\beta_{el}$ )
- $(\pi, \pi)^*$ ,  $(n, \pi)^*$  mixed



- SO coupling ; Vibronic coupling ( $\beta_{el}$ )
- $(\pi, \pi)^*$ ,  $(n, \pi)^*$  mixed



Gap=0 : No mixing

Small gap: vibration energy  
가 electronic coupling과 유사  
따라서 둘 사이의 관계에 따라  
떨어지는 방향이 다르다.

Large gap: electronic coupling  
즉 mixing. Gap 영역에서의 vertical  
Transition이 어려워 진다. 즉 위로  
일단 올라가면 radiationless transition  
이 느려진다.

- SO coupling ; Vibronic coupling ( $\beta_{el}$ )

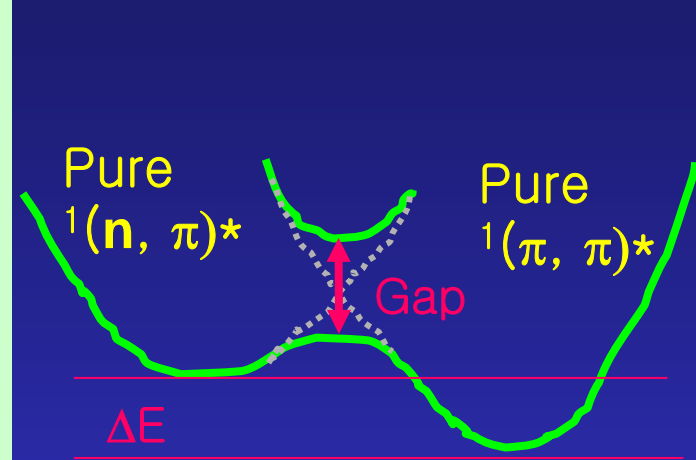
$$\varphi(S_1) = \varphi(n, \pi^*) + \lambda \varphi(\pi, \pi^*)$$

$\lambda$  : mixing coefficient.

$$\lambda = \left| \frac{\langle \varphi_a | H_{vib} | \varphi_b \rangle}{E_a - E_b} \right| : \frac{\text{matrix element}}{\text{energy separation}}$$

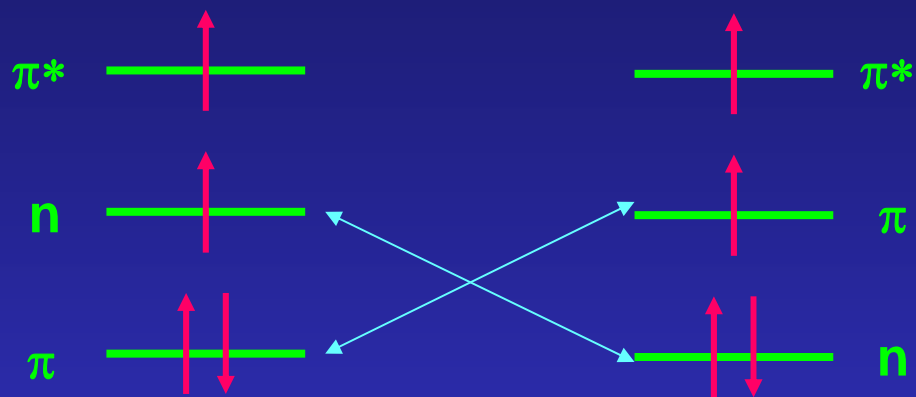
$$S_1 = n\pi^* + \left| \frac{\langle n\pi^* | H_{vib} | \pi\pi^* \rangle}{E_{\pi\pi^*} - E_{n\pi^*}} \right| \pi\pi^*$$

$$\langle n\pi^* | H | \pi\pi^* \rangle \sim \langle n | H | \pi \rangle \neq 0 : \text{non-planar vib.}$$

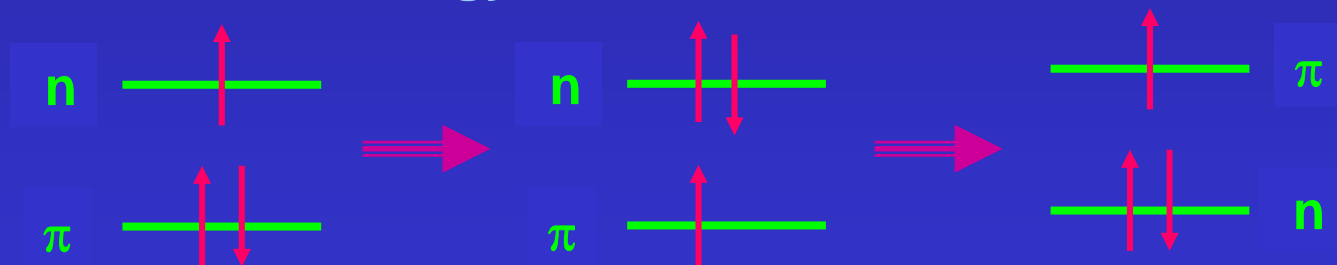


Mixed  
 $^1(\pi, \pi)^*$   
 $^1(n, \pi)^*$

- **SO coupling ; Vibronic coupling ( $\beta_{el}$ )**



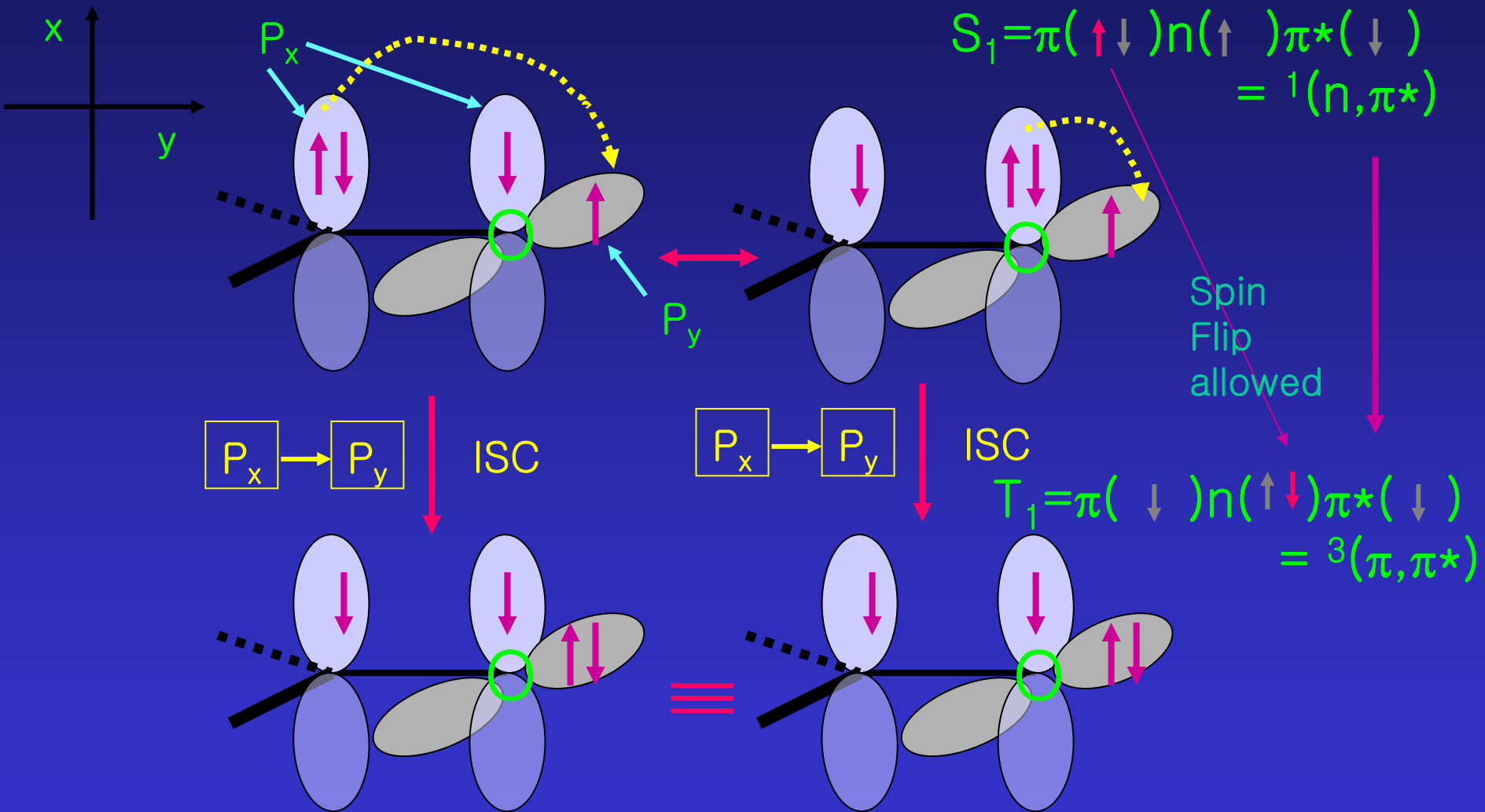
Vibration에 의해서  
Energy level이 바뀜



전자가 위로 올라감

Energy적으로 불안해 져서  
Vibration을 이용하여 낮아짐

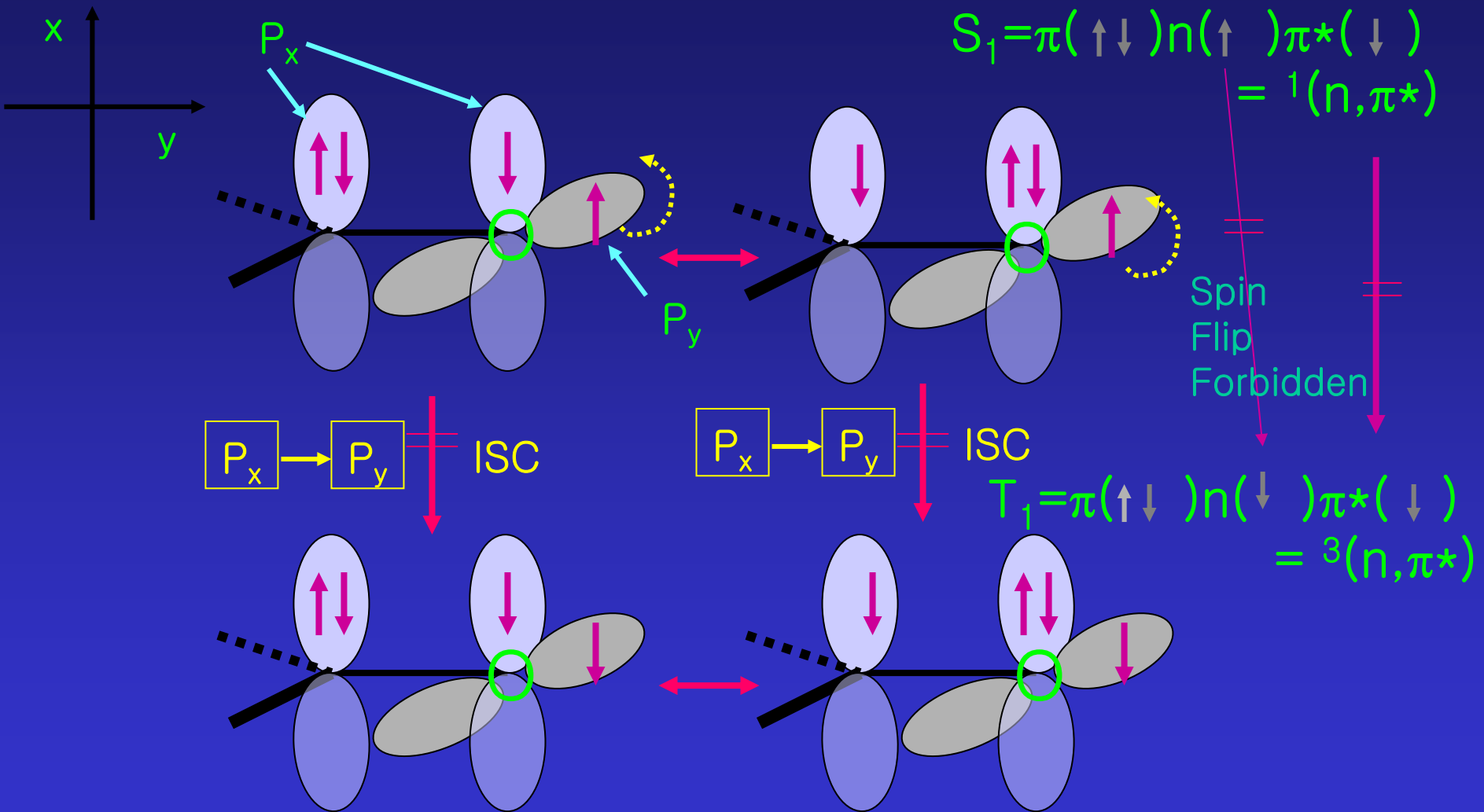
- Visual Presentation of S.O. Coupling



Spin과 Orbital이 coupling 되는  
Process라서 spin-flip OI allowed

이쪽이 더 잘 일어난다.

- Visual Presentation of S.O. Coupling



- 다음 carbonyl 화합물의 isc rate를 비교해 보자.

$\cdot k_{ST} \sim 10^{11} - 10^{10} \text{ sec}^{-1}$

fast

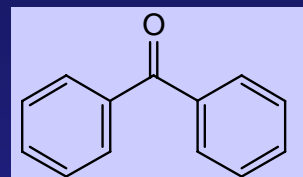
$\cdot k_{ST} \sim 10^9 - 10^8 \text{ sec}^{-1}$

intermediate

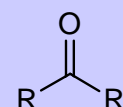
$\cdot k_{ST} \sim 10^7 - 10^6 \text{ sec}^{-1}$

slow

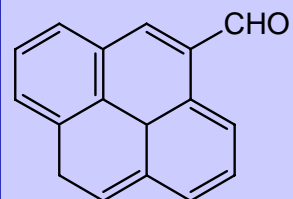
(out-of-plane  
bending OI 적다.)



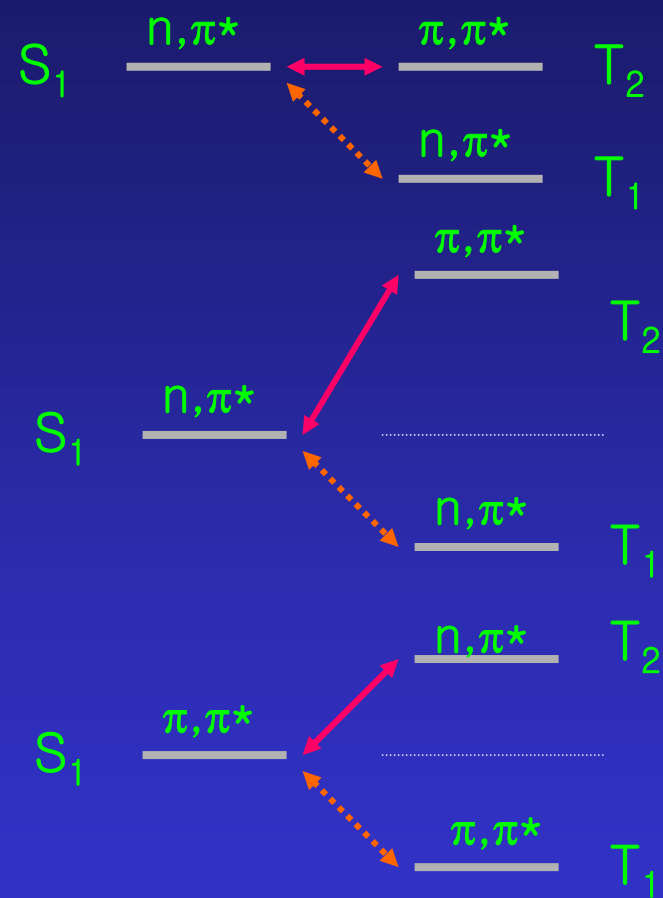
benzophenone



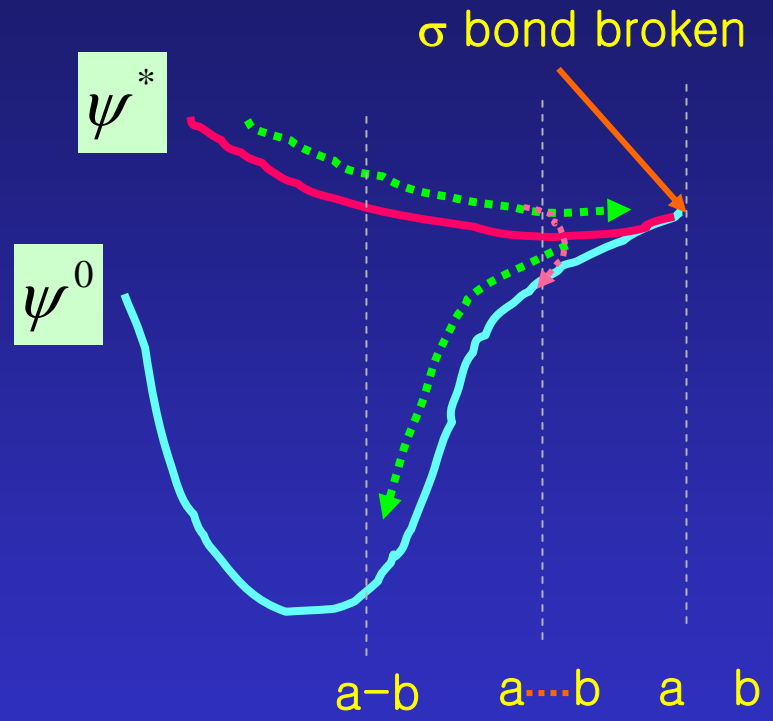
Alkyl ketone



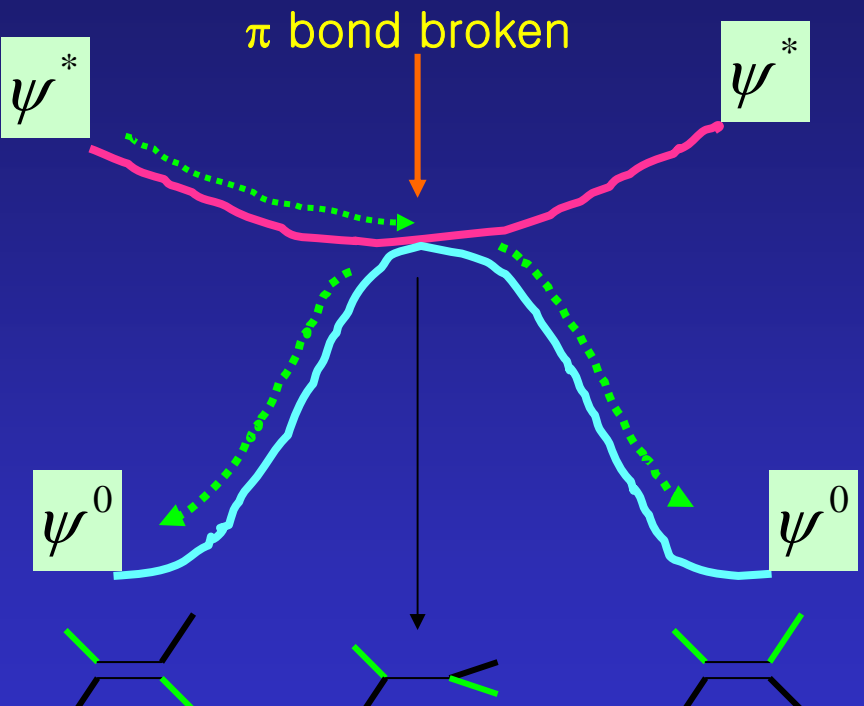
Pyrenaldehyde



- Structural Effects

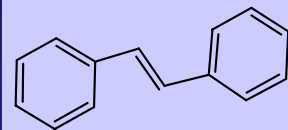


stretching a  $\sigma$  bond

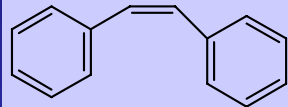


twisting a  $\pi$  bond

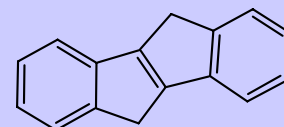
- Structural Effect ←
- 아래와 같은 형광 효율을 갖는 이유를 알아보자.



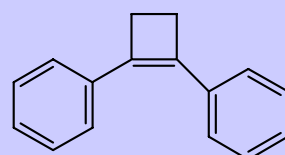
$$\Phi_F = 0.05$$



$$\Phi_F = 0.00$$



$$\Phi_F \sim 1.0$$



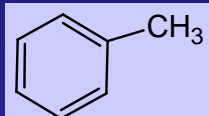
$$\Phi_F \sim 1.0$$

Steric interactions b/w the phenyl groups of cis-stilbene : rapid r l t by twisting.  
trans-Stilbene can also twist about the C=C bond in S<sub>1</sub>.

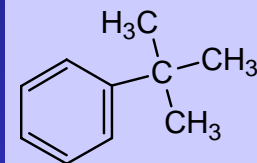
The other two molecules: twisting motion is severely hindered by structural constraints.

이외에도 온도를 낮추거나, 주변의 환경을 조정하여 분자들이 움직이지 못하게 하면 형광의 양을 크게 증가할 수 있다.

- Structural Effect
- 아래와 같은 형광 효율을 갖는 이유를 알아보자.



$$k_{\text{IC}} \sim 10^7 \text{ sec}^{-1}$$



$$k_{\text{IC}} \sim 10^8 \text{ sec}^{-1}$$

Ph-C의 길이가 tert-butyl benzene의 경우 매우 길어서 loose한 bolt 와 같은 형태로 쉽게 열 에너지로 전환되면서 기저상태로 떨어지게 된다.

77 K에서  $\Phi_p$  (toluene)  $\sim 1.0$ . 이고  $\Phi_p$  (tert-butyl benzene)  $\sim 0.0$ 인 것도 같은 이유에서이다.

- Intersystem Crossing
- $S_1 \longrightarrow T_1 (T_n)$
- $k_{isc} \longrightarrow 10^6 \sim 10^{11} \text{ sec}^{-1}$ 
  - Aromatic hydrocarbon
  - Molecules containing “heavy atom”

- Intersystem Crossing

compounds	$k_{isc}$	$\Delta E_{ST}$	
Naphthalene	$10^6$	30	
Anthracene	$10^8$	2–3	
Pyrene	$10^6$	30	
9-acetoanthracene	$\sim 10^{10}$	$\sim 5$	
9,10-dibromoanthracene	$\sim 10^8$	30	${}^1\pi\pi^* \rightarrow {}^3\pi\pi^*$
Benzophenone	$10^{11}$	5	${}^1n\pi^* \rightarrow {}^3\pi\pi^*$
acetone	$5 \times 10^8$	5	${}^1n\pi^* \rightarrow {}^3n\pi^*$

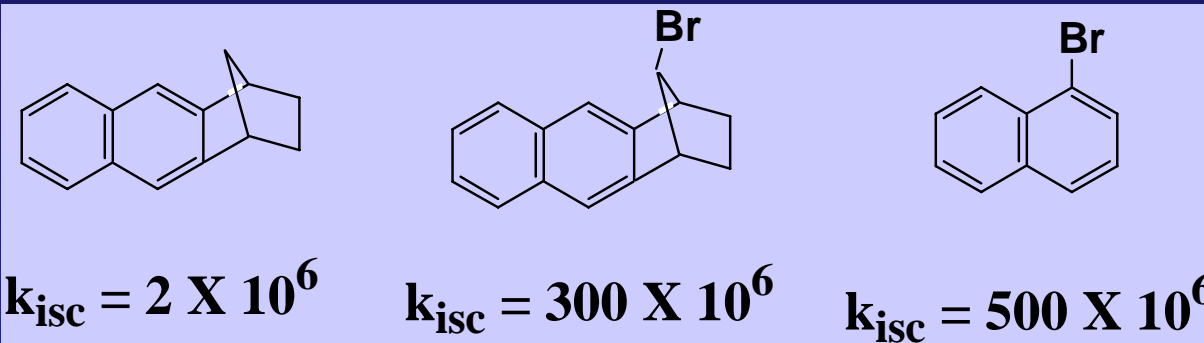
- $\Delta E_{ST}$  작아지면  $k_{isc}$  증가
- Nonbonding electron 있는 경우와 없는 경우에 차이가 있다.
- Heavy atom effect: 9,10-dibromoanthracene  $\Delta E_{ST}=30$ 임에도  $10^8$ 으로 2 order 증가
- Benzophenone 과 acetone 의 경우 allowed tr. 과 forbidden tr. 차이

- ISC internal heavy atom effects:

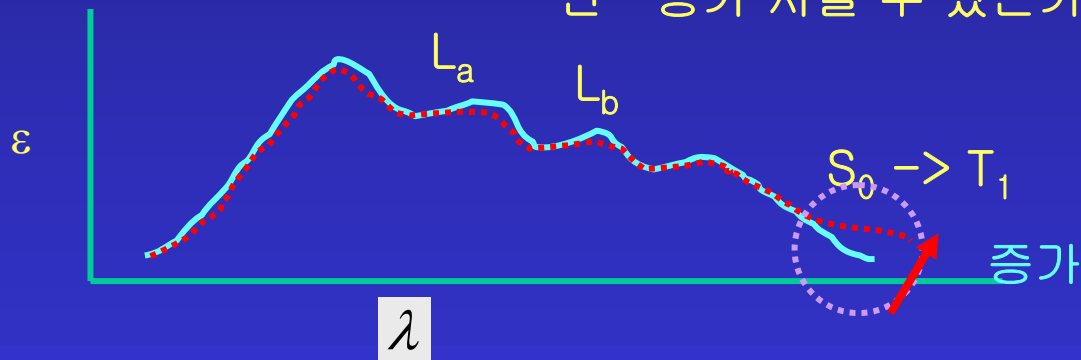
	$k_F$	$k_{isc}$	$k_{TS}$	$\Phi_P$
naphthalene	$10^6$	$10^6$	$10^{-1}$	0.05
1-fluoronaphthalene	$10^6$	$10^6$	$10^{-1}$	0.06
1-chloronaphthalene	$10^6$	$10^8$	10	0.54
1-bromonaphthalene	$10^6$	$10^8$	50	0.55
Perylene	$2 \times 10^8$	$10^7$	$\Phi_F = 0.98$	
3-bromoperylene	$2 \times 10^8$	$< 10^8$	$\Phi_F = 0.98$	

- Naphthalene :  $k_{isc}$   $k_{TS}$  (T에서 S로, 인광등)  $\Phi_P$  모두 증가
- Perylene : bromo로 치환 했음에도 인광이 없다. ??? 이유는 ???
- 2 order 정도는 차이가 나야 heavy atom effect가 있다. 이 경우는 형과의 속도가 isc 속도보다 빨라서 영향이 없다.

- ISC external heavy atom effects:

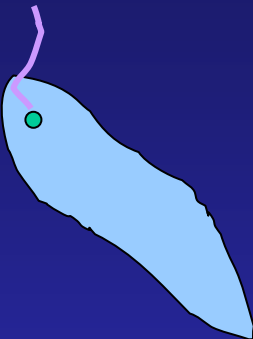


- Benzene의 흡수 spectrum  $L_a L_b$  는 변화하지 않고  $S_0 \rightarrow T_1$  만 증가 시킬 수 있는가?



- Etl를 첨가하면 spin orbit coupling 의하여 intersystem crossing 증가

- ISC external heavy atom effects: Euglena
- 빛을 따라 움직인다.

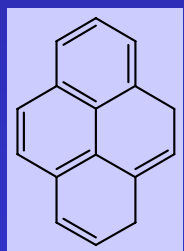


- Flavin : photo receptor (빛을 감지한다.)

0.01 molar KI 를 첨가하였더니 빛을 따라가는 움직임이 감소?

- singlet excited state가 KI에 의하여 quenching 되었다.
- 모든 경우 heavy atom effect가 있는 것이 아니다! carotene 의 singlet 은  $k_{ic} = 10^{14}$ 이므로  $k_{isc}$  가 일어날 수 없다. 즉 KI의 효과가 없다.

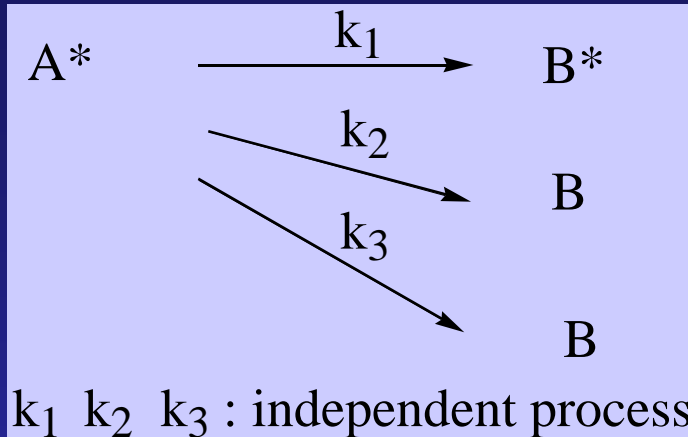
- ISC external heavy atom effects:
- 영향을 미치는 물질들:
- 산소, Xe, organic halide, organometallic
- 산소의 경우 ( $10^{-2} \sim 10^{-3}$  mol in solution)
- $k = k_{\text{isc}} + k_q [\text{O}_2]$
- $K_q = 10^{10} \sim 10^9 \text{ M}^{-1} \text{ sec}^{-1}$  (diffusion controlled rxn)
- $k_{\text{isc}} = \sim 10^{10}$  이면 산소의 영향이 거의 없다.
- $k_{\text{isc}} = \sim 10^6$  이면 산소의 영향 많이 받는다.



$$\begin{aligned} K &= 10^7 \text{ w/o O}_2 \\ \Phi_{\text{isc}} &\sim 0.3 \end{aligned} \implies k_{\text{isc}} < k_q [\text{O}_2]$$

산소의 영향이 크다.

- **Kinetics**



$$\frac{d[A^*]}{dt} = -[A^*](k_1 + k_2 + k_3) = -\sum k[A^*]$$

$$\frac{d[A^*]}{[A^*]} = -\sum k dt$$

$$[A^*] = [A^*]_o e^{-\sum k t}$$

$$\tau = \frac{1}{\sum k}$$

- **Kinetics**

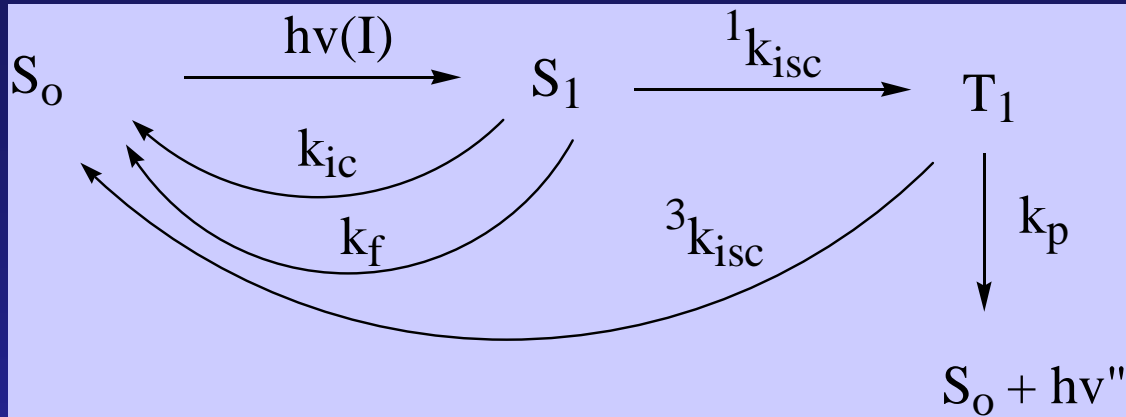
$$\tau_f = \frac{1}{k_F^o + {}^1k_{isc} + k_{ic}}$$

$$\tau_p = \frac{1}{k_P^o + {}^3k_{isc}}$$

${}^1k_{isc}$  : singlet  $\rightarrow$  triplet

${}^3k_{isc}$  : triplet  $\rightarrow$  singlet

- Kinetics



$I$ : rate of absorption of photons

$$[I] = [S_1] \sum {}^1k \quad : \quad \sum {}^1k = k_{\text{ic}} + k_f + {}^1k_{\text{isc}}$$

$$\Phi_f = \frac{\text{rate of emission by } S_1}{\text{rate of absorption of photons by } S_0}$$

$$= \frac{k_f[S_1]}{I_a} = \frac{k_f}{\sum {}^1k}$$

$$[S_1] = \frac{I_a}{k_{\text{isc}} + k_{\text{ic}} + k_f}$$

- **Kinetics**

$$\tau_f = \frac{1}{\sum k} \quad 0 \text{으로} \quad \Phi_f = k_f \tau_f$$
$$\Phi_{ic} = k_{ic} \tau_f \quad , \quad \Phi_{isc} = k_{isc} \tau_f$$

- **Kinetics**

$$^1k_{isc}[S_1] = ^3k_{isc}[T_1] + k_p[T_1]$$

$$[T_1] = \frac{^1k_{isc}[S_1]}{^3k_{isc} + k_p}$$

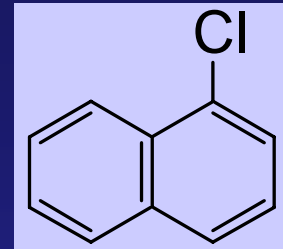
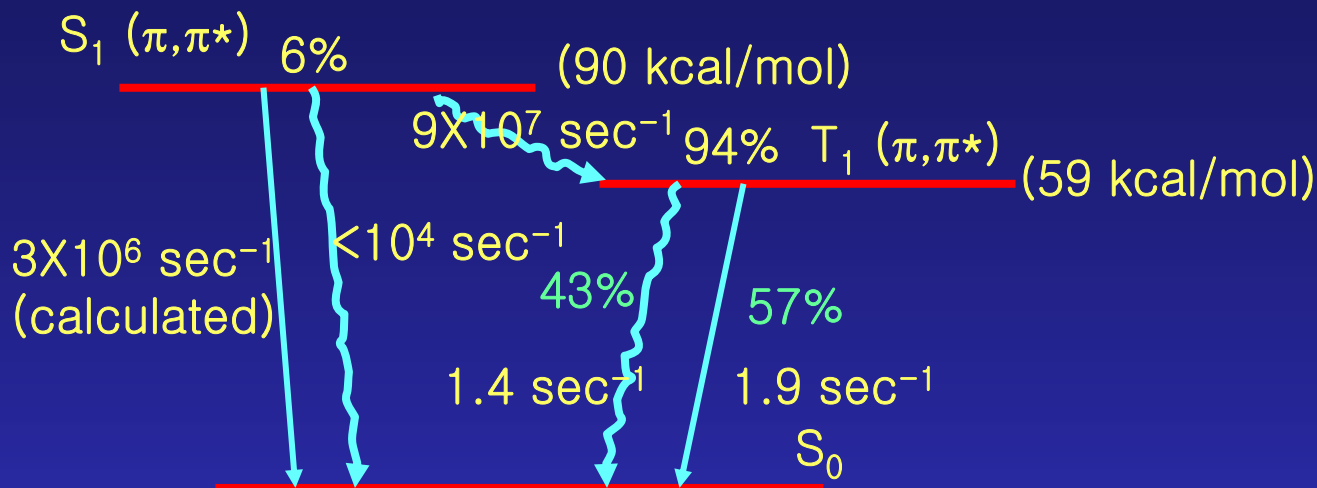
$$\Phi_p = ^1\Phi_{isc} \frac{k_p}{k_p + ^3k_{isc}} = ^1\Phi_{isc} \tau_p k_p$$

설명

$$\Phi_p = \frac{k_p[T_1]}{I_a} = \frac{k_p \frac{k_{isc}}{^1k_{isc} + k_p} \frac{I_a}{^1k_{isc} + k_f + k_{ic}}}{I_a}$$

$$= \frac{1}{\left( ^1k_{isc} + k_p \right) \left( ^1k_{isc} + k_f + k_{ic} \right)} \cdot \frac{k_p}{k_{isc}} \cdot \frac{\Phi_{isc}}{\Phi_{isc}}$$

- Kinetics



## 설명

$$\Phi_f = 0.06 \quad \Phi_p = 0.54$$

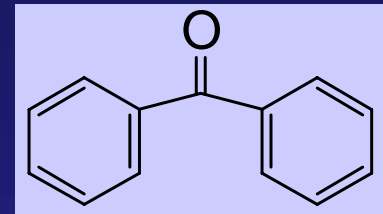
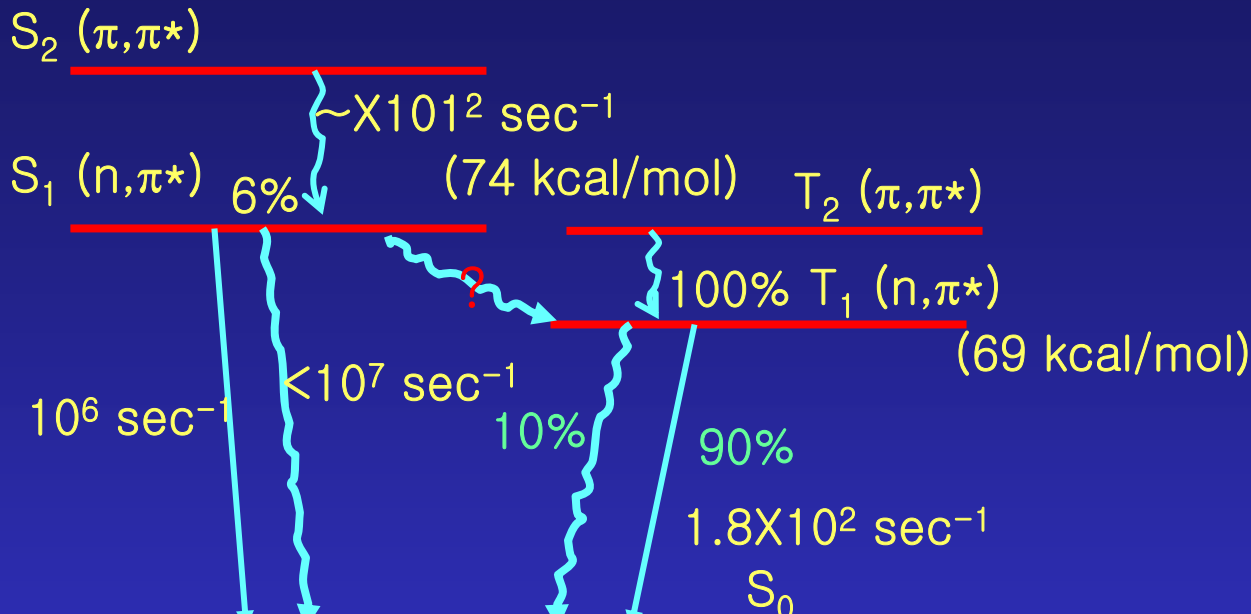
$\Delta E_{ST} = 31 \text{ Kcal/mol}$  상당히 커서 일반적인 aromatic hydrocarbon 과 일치

Cl 치환기로 인해 조금 빨라지나 느린 편이다.

그러나) 형광으로 떨어지는 속도가 상당히 느리고, internal conversion rate 도 느려서 상대적으로 isc가 잘 일어난다.

$\Phi_f + \Phi_p = 0.6$  이므로 나머지는 빛이 안 나오는 isc ( $T_1 \rightarrow S_0$ )

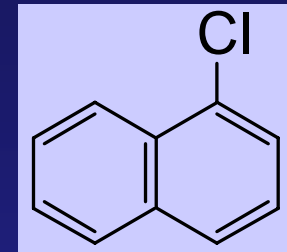
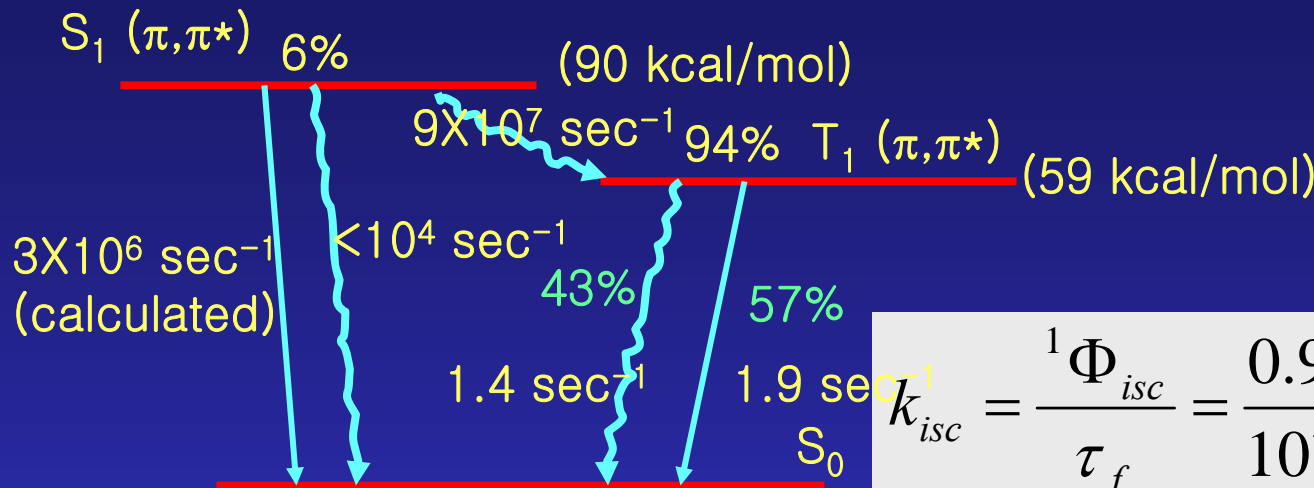
- Kinetics –home work



$$\Phi_f < 10^{-4} \quad \tau_s \sim 10^{-11} \quad \tau_T = 6 \times 10^{-3}$$

${}^1k_{\text{isc}}$  ,  ${}^3K_{\text{isc}}$  ,  $k_f$  를 구해 보아라.

- Kinetics



$$k_{isc} = \frac{{}^1\Phi_{isc}}{\tau_f} = \frac{0.94}{10^{-8}} = 9.4 \times 10^7 \text{ sec}^{-1}$$

$${}^3\Phi_{isc} = {}^1\Phi_{isc} \tau_p {}^3k_{isc} \quad 0 \text{으로}$$

$${}^3k_{isc} = \frac{{}^3\Phi_{isc}}{{}^1\Phi_{isc} \tau_p} = \frac{0.4}{0.94 \times 0.3} = 1.4 \text{ sec}^{-1}$$

$$\therefore 0.4 = 0.94 \times 0.43, \quad 0.3 = 1/(1.4 + 1.9).$$

$$k_f = \frac{{}^3\Phi_f}{\tau_f} = \frac{0.06}{10^{-8}} = 6 \times 10^6 \text{ sec}^{-1}$$

- Radiative Energy Transfer
  - absorption of photon emitted from donor
  - very long range
- Non-radiative Energy Transfer
  - Coulombic (dipole-dipole) interaction  
( $\sim 20\text{--}60 \text{ \AA}$ ) long range
  - Electron Exchange  
( $\sim 6\text{--}15 \text{ \AA}$ ) short range

- Energy Transfer



(spin conserved)



(spin conserved)



(singlet Oxygen 형성)  
(spin conserved)



이 경우 triplet lifetime이 길어서  
Process를 가능하게 한다.

Triplet – triplet annihilation도 같은 이유로 가능하  
다. ~ 40 Å 까지 in cellulose acetate film

- Trivial Radiative Energy Transfer



singlet - singlet

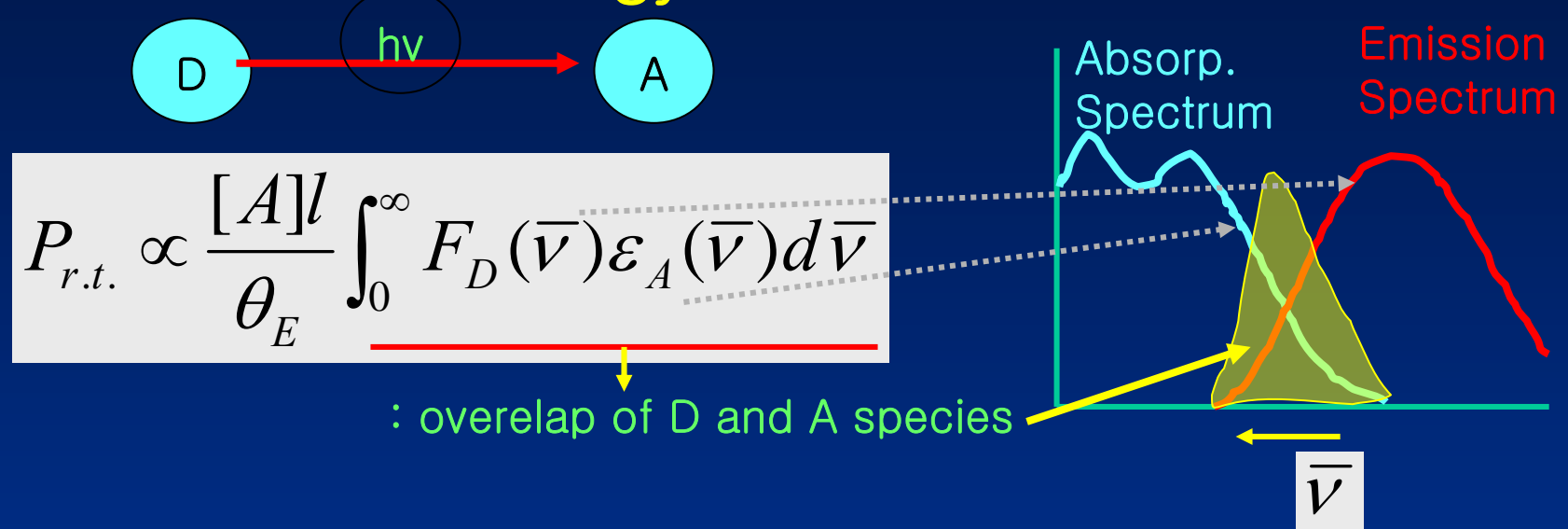


triplet - singlet

- Singlet–triplet, Triplet–triplet migration?

일반적으로는 무시 : triplet absorption이 작다.

- Trivial Radiative Energy Transfer

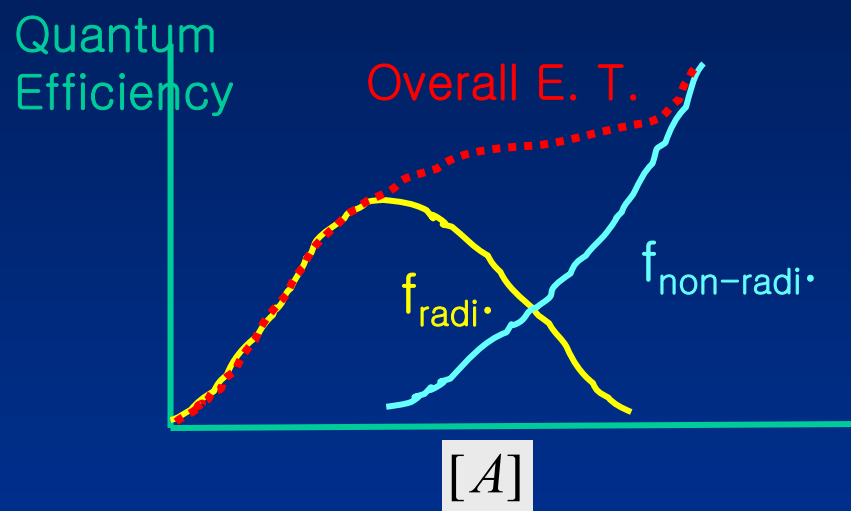
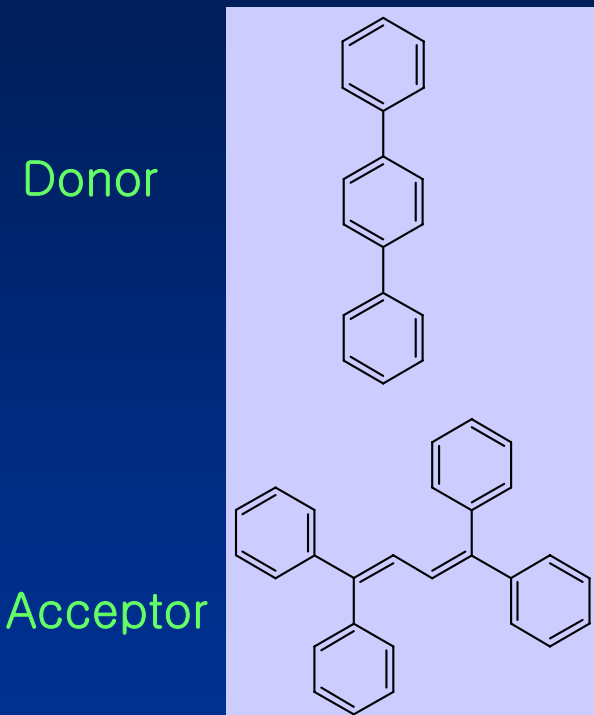


$[A]$  : # of acceptor molecules in the path of the emitted photon.

$l$  : path length.

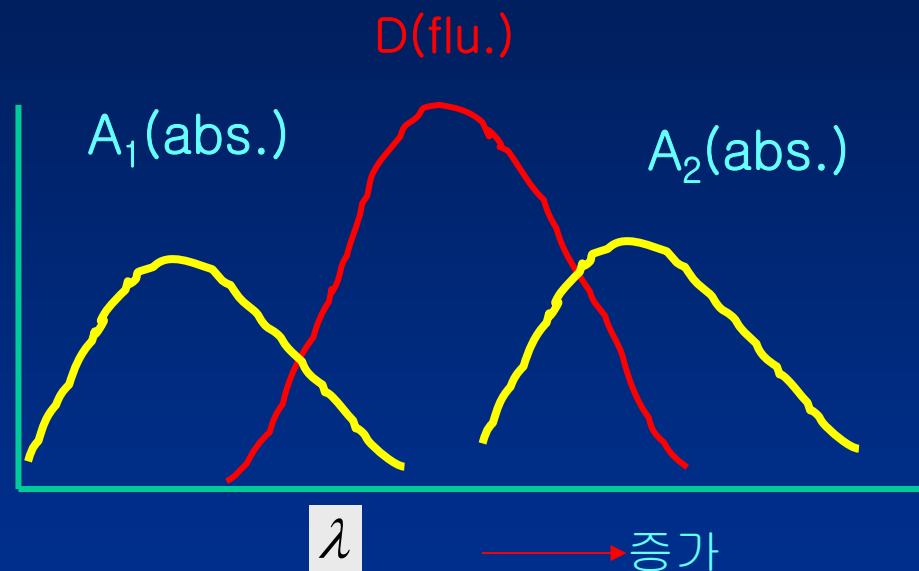
$\theta_E$  : Quantum efficiency of emission by donor.

- Energy transfer experiment 1:
- Donor의 농도는 일정하게 하게, acceptor의 농도를 바꿔가며 실험.



1. Radiative transfer는 spectrum overlap으로만 가능
2. Non-radiative trans. 은 어느 정도 가까운 거리에서 가능 (농도에 의존 (농도가 높아야 가능))

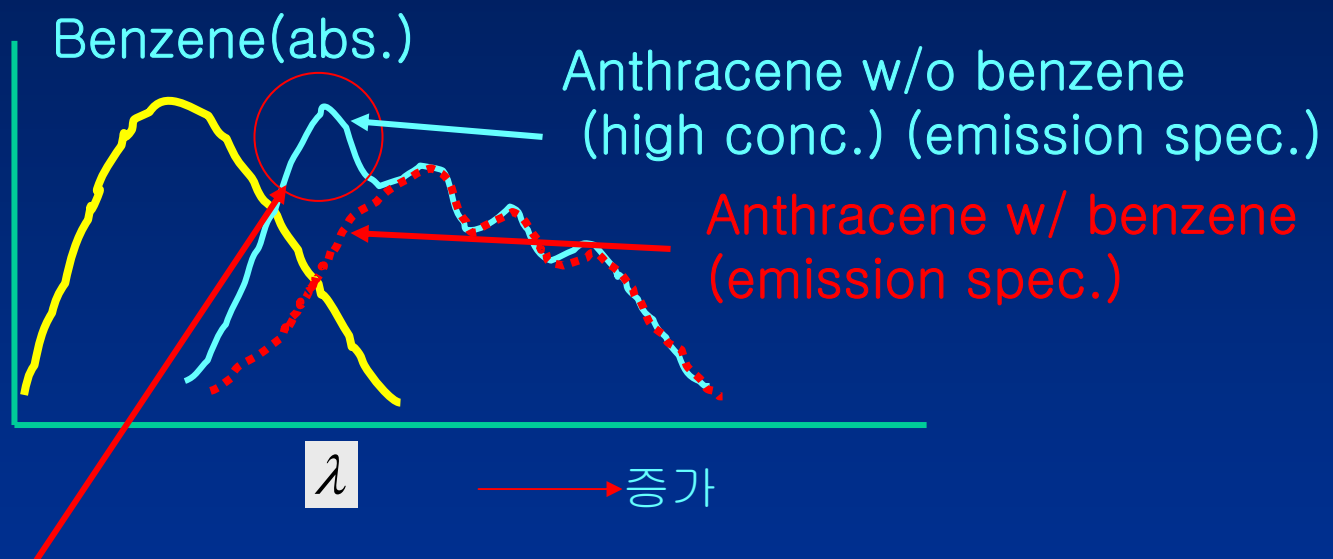
- Acceptor의 위치에 따른 E. T.
- 어느 것에 ET 가능한가?



모두 다 ET 가능. Overlap만 되면 된다.

## Decays from Excited States : Energy Transfer – Radiative

- Spectrum of D&A mixture
- D의 spectrum 변화



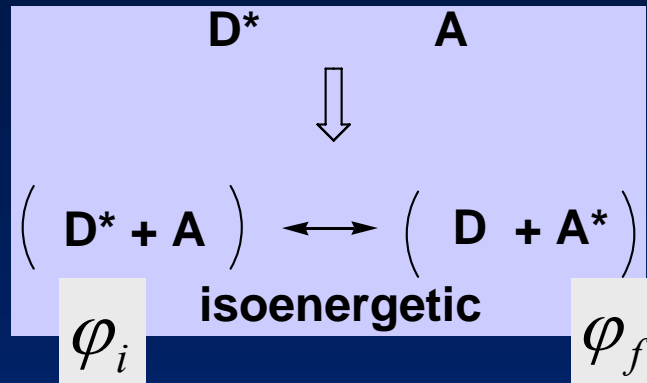
Energy transfer에 의해 peak이 보이지 않는다.

# Decays from Excited States : Energy Transfer – non-radiative

- Collisional Process

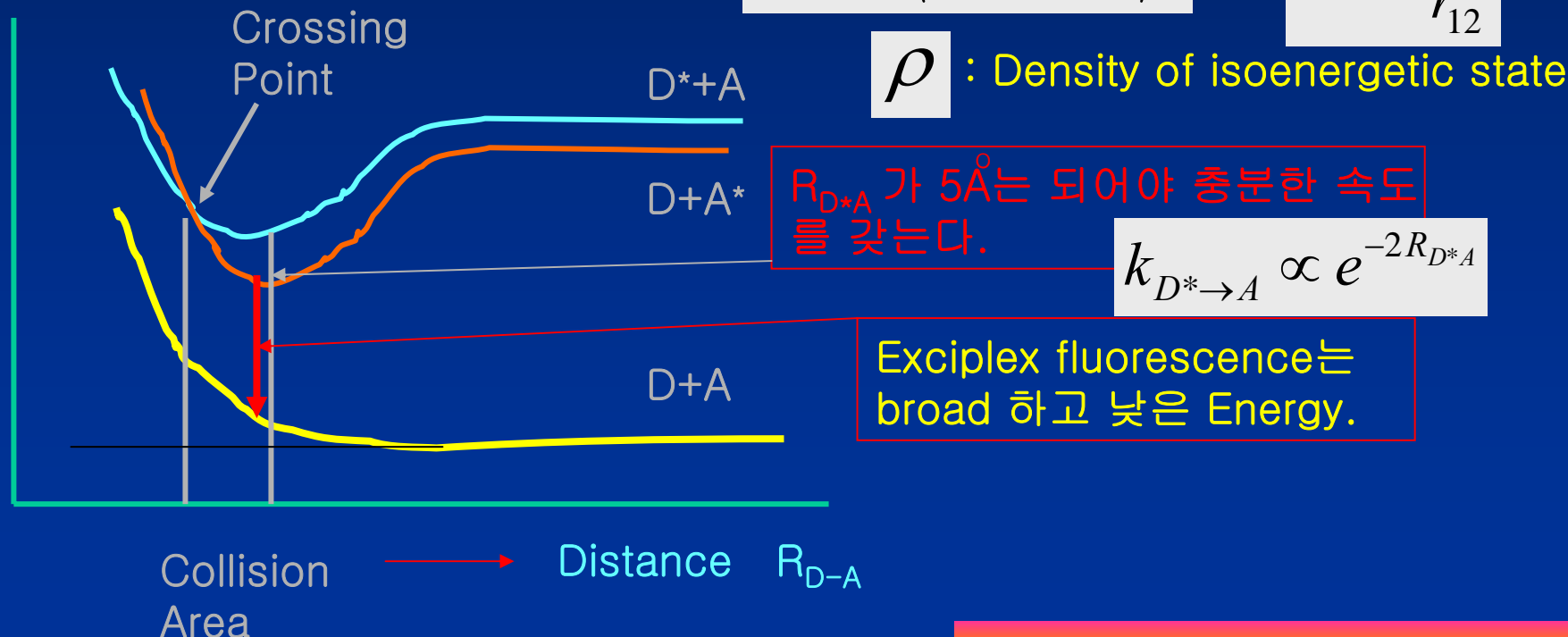
- Perturbation 이 두 state를  
오가게 한다.

- 두 상태의 energy transfer 확률  $p$  는



$$P \propto \rho \langle \varphi_i | H' | \varphi_f \rangle^2$$

$$H' \approx \frac{e^2}{r_{12}}$$



## Decays from Excited States : Energy Transfer – non-radiative

- P가 매우 클때는  $k_{\text{energy transfer}}$ 가 매우 크다.

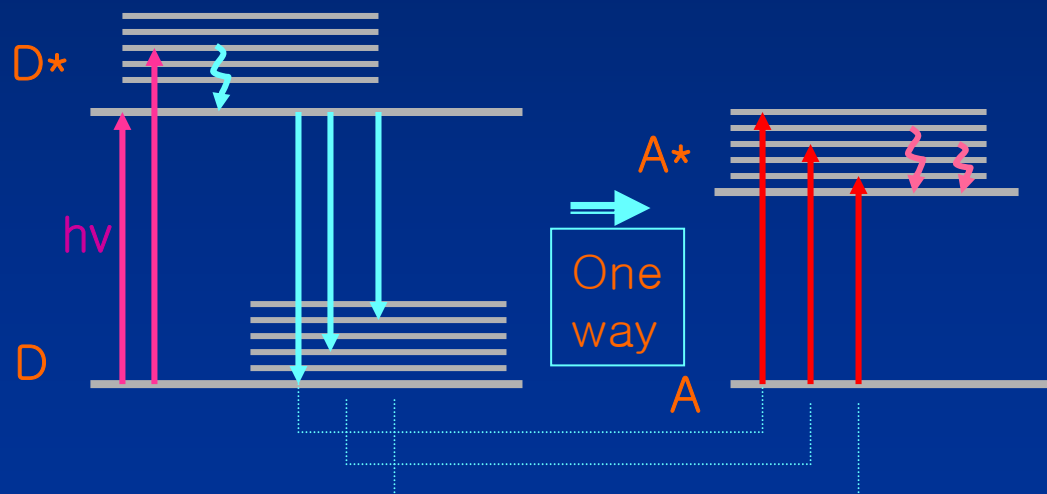


- Excitation이 더 이상 localize 안된다.
- D와 A를 섞어 찍은 absorption spectrum과 D abs. Spec. + A abs. Spec. 이 같은가?

D+A의 흡수 spec.은 energy transfer에 의하여 D abs. Spec. + A abs. Spec. 이 같을 수 없다.

# Decays from Excited States : Energy Transfer – non-radiative

- $K_{\text{Energy Trans}} < k_{\text{vibrational relaxation}}$  인 경우
  - $D^*$  undergo energy transfer from its bottom vibrational level,  $A^*$  형성 후 빨리 bottom level로 가서
  - $(D^* + A) \leftrightarrow (D + A^*)$  이 degeneracy 가 쉽게 깨지고,
  - Energy transfer가 한 방향으로 진행된다.



Coupled degenerate  
non-radiative transitions

이와 같은 matching  
이 유기분자에서 가능  
한 것은?

많은 vibrational,  
rotational sub-level  
이 존재하기 때문이다.

- Rate const. Of energy transfer:
- 앞의 그림과 같은 coupling 이 많을 수록 overlap이 많다.

$$J_{D^*A} \equiv \text{spectral overlap integral}$$

$$= \int I_F(\bar{\nu}) \varepsilon_A(\bar{\nu}) d\bar{\nu}$$

$$k_{D^*A} = \frac{9000 (\ln 10) k^2 \Phi_D}{128\pi^4 n^4 N \tau_D} \left( \frac{1}{R^6} \right) \int_0^\infty I_F(\bar{\nu}) \varepsilon_A(\bar{\nu}) \frac{1}{\bar{\nu}^4} d\bar{\nu}$$

$$= \frac{1}{\tau_D} \left( \frac{R_0}{R} \right)^6$$

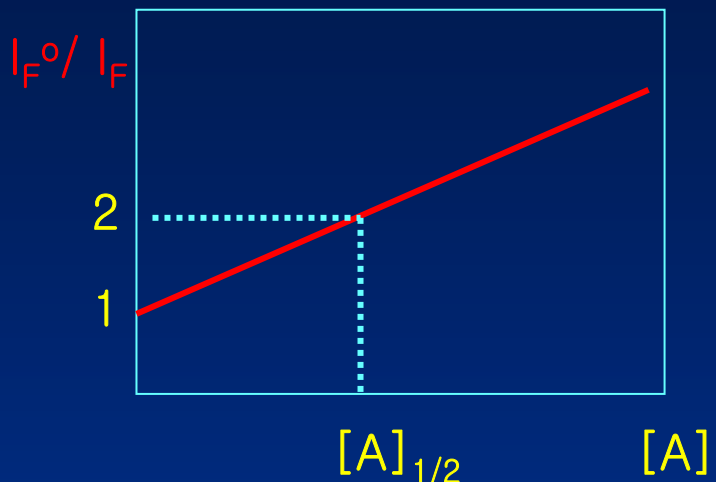
Radiative lifetime

R : donor–acceptor average distance

$R_0$  : critical distance = R at 50% transfer efficiency

R 이 -6승에 비례함은 D-A 거리를 공유결합으로 조절하여 비례관계 구했다.

- $R_0$  구하는 방법



$$R_0^6 = \frac{9000 (\ln 10) k^2 \Phi_D}{128\pi^4 n^4 N \bar{\nu}^4} \int_0^\infty I_F(\bar{\nu}) \varepsilon_A(\bar{\nu}) d\bar{\nu}$$

$$R_0 = \frac{7.35}{\sqrt[3]{[A]_{1/2}}}$$

- Critical Distance의 예

이 경우 energy transfer는 solvent viscosity에 무관  
10-4 M 이하에서는 D---A가 만나야 하므로 viscosity 관계된다.

# Energy Transfer – Collisional

- Collisional migration due to **excimer-exciplex** formation



singlet - singlet



triplet - triplet

D=A : excimer

# Energy Transfer – Electron Exchange



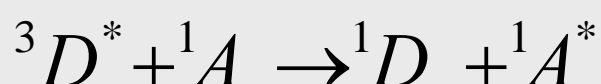
singlet - singlet

Spin conservation  
Dipole-allowed  
efficient



triplet - triplet

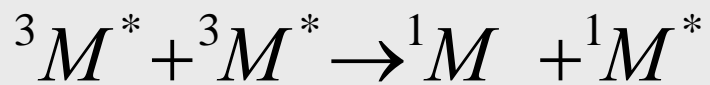
Spin conservation  
Dipole forbidden  
moderate



triplet - singlet

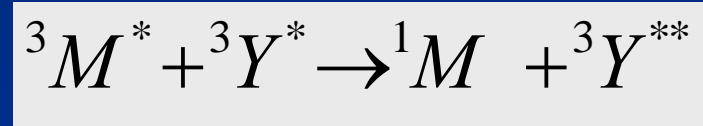
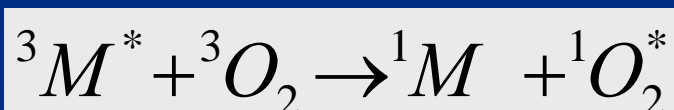
Spin forbidden  
Dipole allowed  
Moderate  
 ${}^1A$ 의 lifetime은  ${}^3D$ 의 lifetime  
에 의하여 결정된다.

# Energy Transfer – Triplet+triplet



Triplet의 lifetime이 길기 때문에 가능

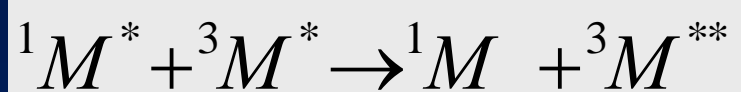
- Solution에서는 excimer 형성으로 가능
- Rigid matrix에서는 electron exchange로 가능
- 다음 process들은 exciplex 형성 또는 electron exchange로 가능



- ${}^3M^* + {}^3Y^* \rightarrow {}^1M + {}^1Y^*$
- 
- 

2차 여기상태로의 전이가 allowed transition이므로 radiative, dipole-dipole interaction으로도 가능

# Energy Transfer – Singlet+triplet

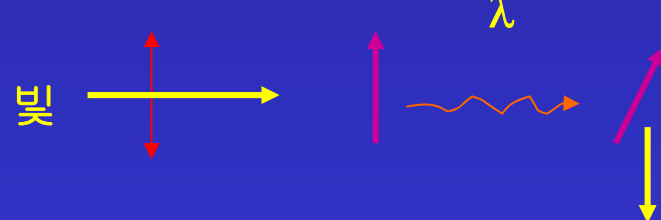
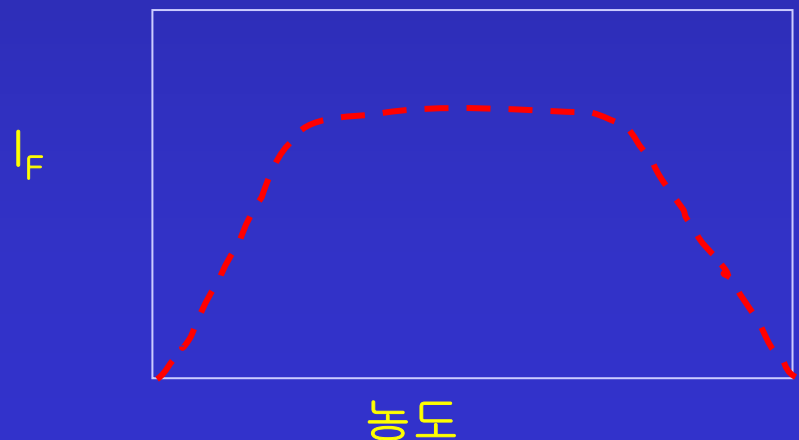


Spin conservation  
Dipole allowed  
Fast  
S-T fusion

» Triplet의 lifetime이 길기 때문에 가능

- 전이가 allowed transition이므로 radiative, dipole-dipole interaction으로도 가능
- Spin conservation도 됨으로, collisional 또는 electron-exchange로도 가능

- Energy Transfer – Chlorophyll

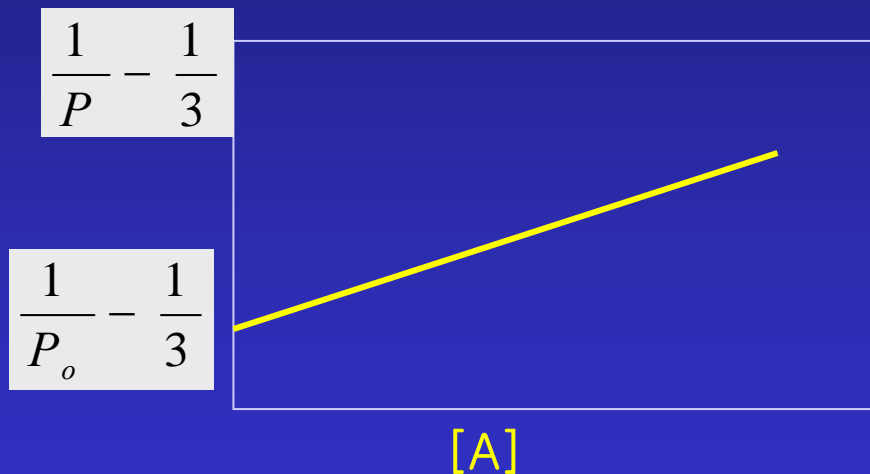


농도가 높아 질수록 Energy transfer  
에 의해 depolarization이 크다.

- Energy Transfer – Chlorophyll

$$\frac{1}{P} - \frac{1}{3} = \left( \frac{1}{P_o} - \frac{1}{3} \right) \left[ 1 + \frac{4\pi N R_o^6 [A]}{15(2a)^3} \times 10^{-3} \right]$$

- a: molecular radius (cm) 를 구할 수 있다.



Energy transfer에 의해 농도가 높아  
질수록 depolarization이 크다.

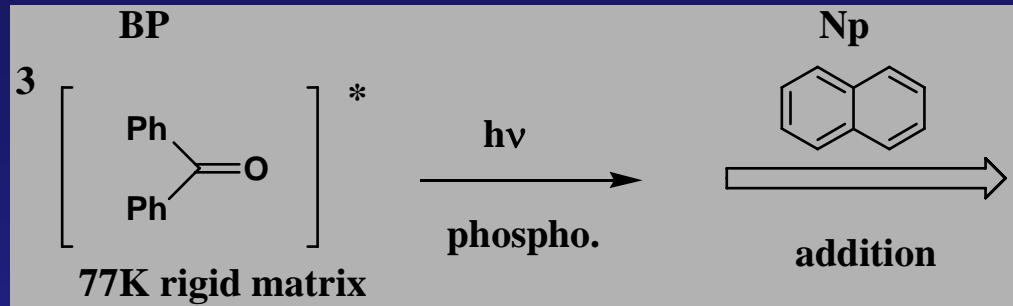
- Energy Transfer

parameter	Radiative	Exciton	Foster	e – exchange
Volume up	+	0	0	0
Viscosity up	0	+	0	-
Temp. down	0	+	?(o,+)	-
Lifetime ( $D^*$ )	0	-	-	-
$D^*$ Lum. Spectrum 변화	yes	slightly	no	no
A absop. 변화	no	slightly	no	no
Conc. range	>0.5M	>0.1 M	$10^{-4} \sim 0.1$	$10^{-4} \sim 0.1$

0 : no effects

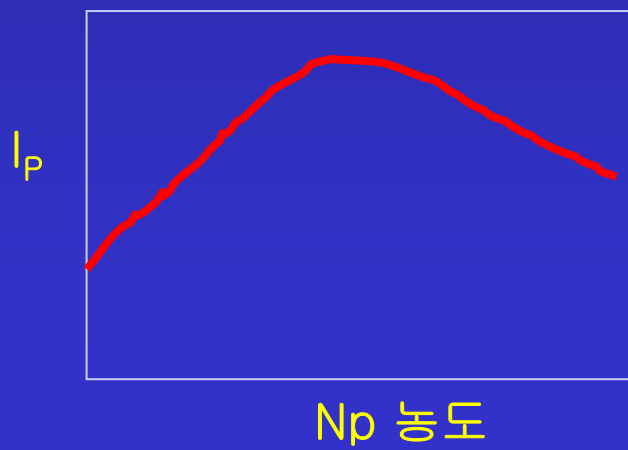
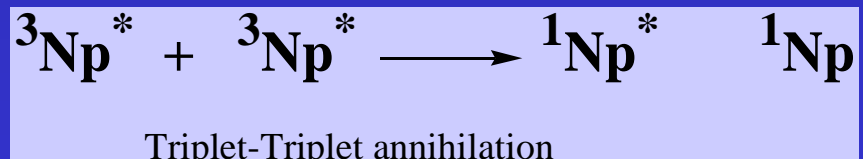
+ : increase - : decrease

- Energy Transfer
- Terenin & Ermolaev
- Addition of Np
- Reduction in benzophenone(BP) phosphorescence.
- New phos. Peak of Np.

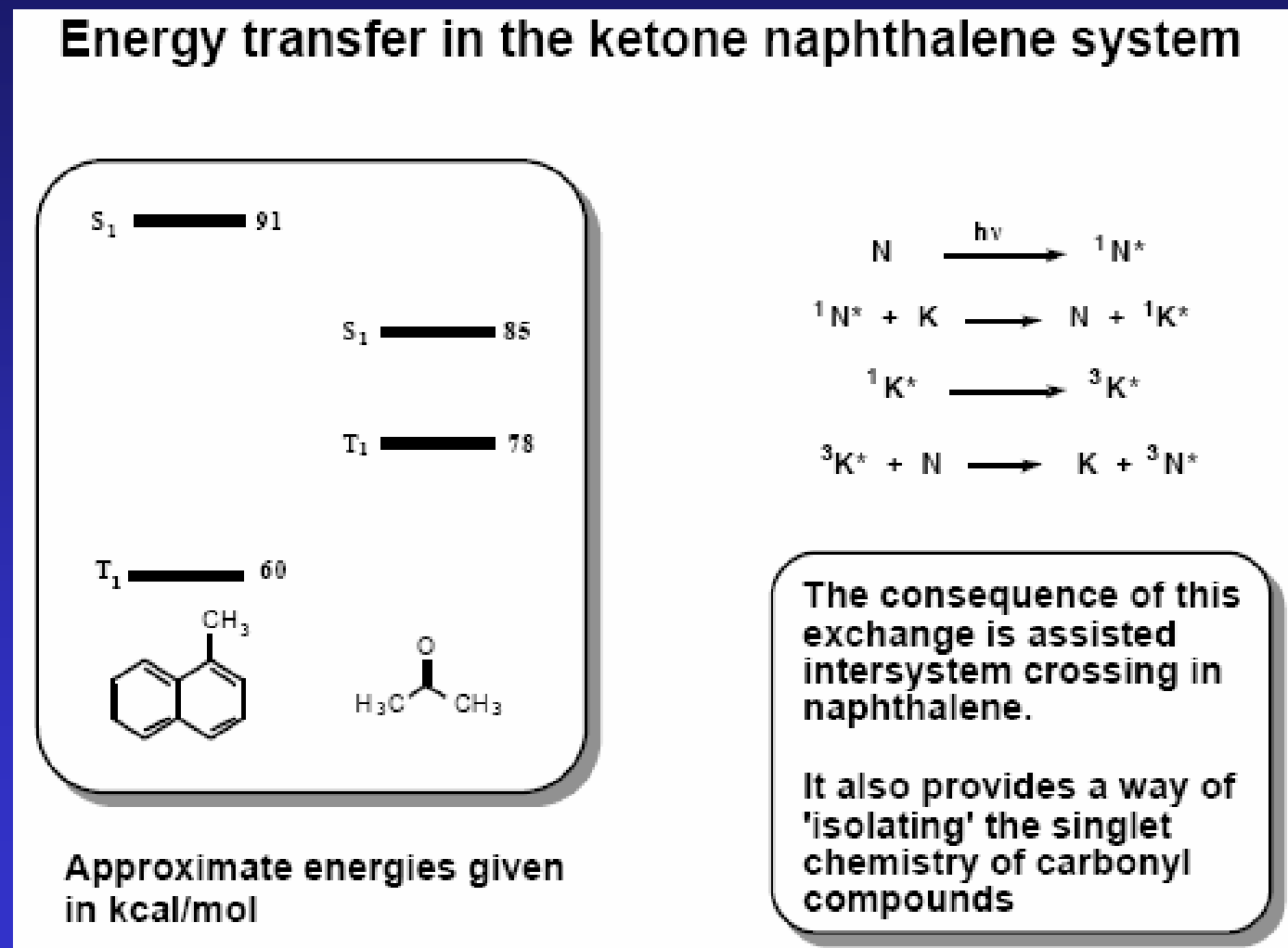


- ${}^1\text{BP} \xrightarrow{\text{isc}} {}^3\text{BP} \xrightarrow{\text{Np } (S_o)} \text{BP } (S_o) + {}^3\text{NP}$   
 $\downarrow h\nu'$
- Diffusion is rate-limiting:  $k_{ET}\eta$  는 여러 용매에서 일정한 값

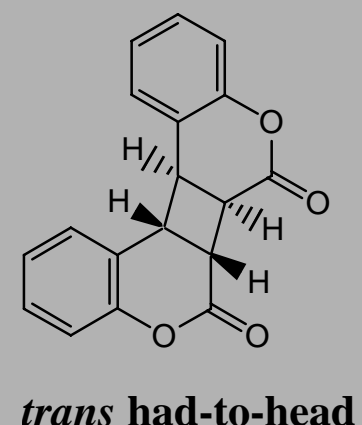
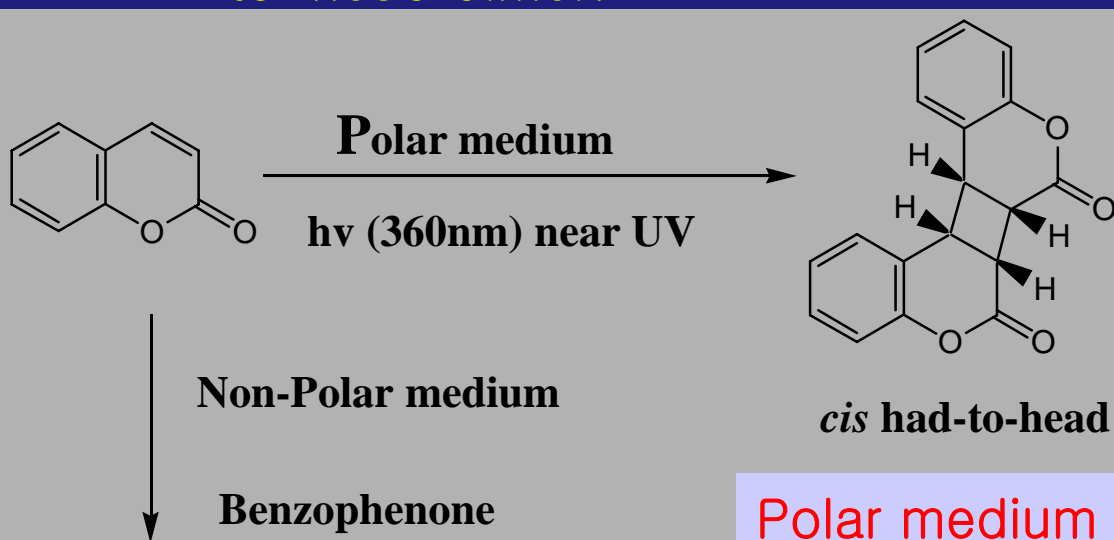
Np를 많이 넣으면 Np의 phosphorescence 증가하다 감소한다. Why?



- Energy Transfer – energy diagram



- Coumarin
- Polar medium : cis & head-to-head dimer formed
- Non-polar medium : w/ BP (일정량, 350 nm) : trans & head-to-head dimer.



Triplet에서는 radical character 때문에  
trans가 잘 형성된다.